

## СВЕТОИНДУЦИРОВАННАЯ ПЕРИОДИЧЕСКАЯ РЕШЕТКА В ХЖК

*А.С.Золотко, В.Ф.Китаева, Н.Н.Соболев, В.Ю.Федорович,  
Н.М.Штыков*

Обнаружен новый нелинейный эффект: в холестерическом жидкокристалле под воздействием излучения аргон-криптонового лазера формируется периодическая решетка, на которой происходит дифракция этого излучения.

Известно, что под воздействием электрических и магнитных полей<sup>1, 2</sup>, нагрева<sup>3</sup>, механического напряжения<sup>4</sup>, температурного градиента<sup>5</sup> в холестерических жидкокристаллах (ХЖК) могут возникать двумерные периодические структуры (квадратные решетки).

В настоящей работе сообщается о наблюдении светоиндукционной решетки в ХЖК. Световой пучок не только создает периодическую структуру, но и дифрагирует на ней. Это позволяет, как и в случае светоиндукционного эффекта Фредерикса<sup>6</sup>, использовать световой пучок для изучения создаваемой им структуры.

### Свойства исследуемого кристалла

Исследовался образец ХЖК толщиной  $L = 110$  мкм планарной ориентации. Жидкокристаллическое вещество состояло из 90 % "смеси А" и 10 % холестерилкаприната. Шаг спиралей  $P = 0,97$  мкм. Температурный интервал существования холестерической фазы практически совпадает с температурным интервалом существования наматической фазы у "смеси А". Верхняя граница этого интервала  $\sim 72^\circ\text{C}$ , нижняя граница  $\sim 0^\circ\text{C}$ . Материальные параметры "смеси А", при температуре  $25^\circ\text{C}$ :  $n_e = 1,784$ ,  $n_0 = 1,540$  ( $\lambda 589$  нм),  $K_1 = 8,5 \cdot 10^{-7}$  дин,  $K_2 = 7,2 \cdot 10^{-7}$  дин,  $K_3 = 10,6 \cdot 10^{-7}$  дин<sup>7</sup>.

### Условия эксперимента

Излучение аргон-криптонового ионного лазера непрерывного действия ИЛМ-120 (Карл Цейсс) фокусировалось с помощью объектива ( $f = 270$  мм) в ХЖК. Плоскость кюветы была перпендикулярна волновому вектору падающего на кристалл излучения. С помощью двойного ромба Френеля и четвертьволновой пластинки (на  $\lambda 633$  нм) достигались линейная или близкая к круговой поляризации света. Лазер ИЛМ-120 позволял получать излучение на длинах волн  $\lambda 647, 488$  и  $515$  нм. Максимальная мощность излучения  $P$  на длине волны  $\lambda 647$  нм составляла  $\sim 160$  мВт, в сине-зеленой области  $P_{\text{макс}} \sim 500$  мВт ( $\lambda 515$  нм) и  $\sim 400$  мВт ( $\lambda 488$  нм). Поглощение исследованного кристалла с увеличением длины волны резко уменьшается (см. рис. 1). Все исследования проводились при температуре ХЖК  $\sim 21^\circ\text{C}$ .

### Экспериментальные результаты

#### A. Возникновение двумерной решетки.

I. При освещении кристалла световым пучком с  $\lambda 647$  нм наблюдалось весьма интересное явление: на экране, помещенном за кристаллом, возникала характерная для квадратных решеток дифракционная картина: световые пятна, расположенные в узлах квадратной сетки (см. рис. 2). Обращает на себя внимание то, что пятна второго порядка (вдоль направления  $XX$  и  $YY$ ) наиболее интенсивны.

Картина возникала не сразу после начала освещения кристалла, а через время  $T_3$  (время задержки), зависящее от мощности  $P$  излучения светового пучка.

Через некоторое время  $T_c$  (время существования) картина исчезала. Исчезновение картины начинается с размытия пятен, ее образующих.

Время  $T_3$  тем меньше, чем больше мощность пучка  $P/T_3 \sim 30$  мин при  $P = 40$  мВт,  $T_3 \sim 10$  мин при  $P = 60$  мВт и  $T_3 \sim 1$  мин при  $P = 120$  мВт). Время  $T_c$  также зависит от  $P$ . При  $P = 80 \div 100$  мВт  $T_c$  порядка нескольких минут, при  $P = 50 \div 60$  мВт  $T_c$  порядка десятков минут.

Состояние кристалла, при котором наблюдается дифракционная картина, сохраняется довольно длительное время ( $\sim$  нескольких минут) после прекращения освещения кристалла. Чтобы убедиться в этом, можно перекрыть на определенное время лазерный луч, затем снова осветить кристалл, уменьшив мощность пучка до  $P \sim 1$  мВт. (При этой мощности никаких искажений в ХЖК не возникает и пучок играет роль зондирующего). Однако, если вместо красного луча пропустить зеленый или синий ( $\lambda = 515$  нм,  $\lambda = 488$  нм), (которые сильно поглощаются кристаллом) мощностью  $P \gtrsim 5$  мВт, то дифракционная картина исчезает практически сразу же, за время  $\sim 1$  с, при  $P \lesssim 1$  мВт время исчезновения увеличивается до десятков секунд. Большие мощности красной линии лазера, как и повышение температуры ХЖК, ухудшают условия создания и существования периодической структуры.

Таким образом картину можно "написать" красным лучом и "стереть" зеленым или синим. Описанная картина появляется как при линейной (произвольного направления), так и при близкой к круговой поляризации падающего на ХЖК излучения. При этом величины  $T_3$  и  $T_c$  существенно не изменяются. Поляризация пучка, прошедшего ХЖК (нулевой порядок дифракционной картины), мало отличается от линейной (при падающей линейной). Однако плоскость поляризации поворачивается. Угол поворота плоскости поляризации за время  $T_3$  и  $T_c$  изменяется на  $20 \div 25^\circ$ . Исследования с клиновидным образцом ХЖК показали, что направление вращения такое же, как и при уменьшении толщины ХЖК, т. е. при образовании периодической решетки в ХЖК угол вращения плоскости поляризации уменьшается. Это указывает на искажения спирали ХЖК.

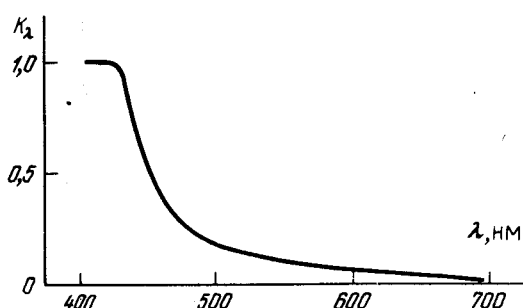


Рис. 1. Зависимость коэффициента  $K_\lambda$  поглощения ХЖК от длины волны

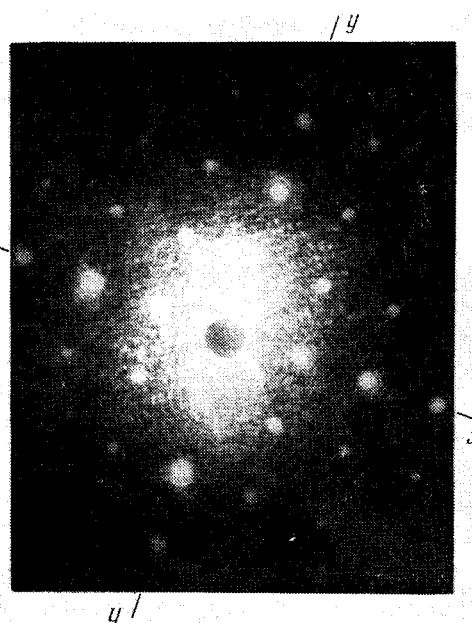


Рис. 2. Фотография картины дифракции на двухмерной решетке, созданной узким световым пучком ( $P = 100$  мВт,  $\delta\theta \sim 0.04$  рад). Темное пятно в центре картины – результат экранки (во избежание за светки фотопленки) пучка, прошедшего ХЖК

Поляризация дифракционных пятен на направлениях  $XX$  и  $YY$  (рис. 2) полностью совпадает с поляризацией пучка, прошедшего ХЖК.

II. По угловому расстоянию  $\delta\theta$  между дифракционными максимумами можно оценить период  $\Lambda$  светоиндуцированной решетки ( $\Lambda = \lambda / \delta\theta$ ). При  $L = 110$  мкм он равен 15 мкм. С уменьшением толщины ХЖК  $\Lambda$  уменьшается.

Для решеток, создаваемых механическими напряжениями или однородным электрическим полем в  $^4$  и  $^2$ , получено выражение, связывающее их период с константами Франка, шагом спирали и толщиной кристалла:  $\Lambda = (3K_3 / 2K_2)^{1/4} (pL)^{1/2}$ . Использование этого соотношения дает величину  $\Lambda = 13$  мкм, которая удовлетворительно согласуется с экспериментом.

Возможными причинами образования решетки в узком световом пучке могут быть переориентация директора под действием его электрического поля или механические напряжения, которые могут возникнуть из-за изменения шага спирали при нагреве ХЖК лазерным лучом.

Так как наблюдавшаяся нами решетка легко разрушается излучением, сильно поглощающим кристаллом ( $\lambda$  515 нм и  $\lambda$  488 нм), и большие мощности излучения на длине волны  $\lambda$  647 нм (когда становится заметным влияние его поглощения) ухудшают условия ее создания и существования, более вероятной причиной образования квадратной решетки в лазерном пучке, по-видимому, является электрическое поле световой волны. Возможно также, что определенную роль в формировании квадратной решетки играет механическое напряжение, связанное с поперечной неоднородностью электрического поля узкого светового пучка.

#### Б. Тепловая самофокусировка светового пучка

I. Световой пучок с длиной волны  $\lambda$  488 нм, проходя ХЖК, уширяется. На экране за кристаллом наблюдается при этом характерная картина теплового аберрационного самовоздействия. Она состоит из двух систем колец с правой и левой циркулярной поляризациями. Расходимость и число аберрационных колец зависят от мощности излучения  $P$  и направления циркулярной поляризации. При  $P = 140$  мВт расходимость пучка  $\sim 0,05$  рад.

II. Самовоздействие светового пучка с длиной волны  $\lambda$  515 нм происходит аналогично, но та же расходимость пучка достигается при большей его мощности.

III. При мощности  $P = 200$  мВт ( $\lambda$  488 нм) наблюдается еще одна система эквидистантно расположенных колец, интенсивность которых значительно меньше интенсивности первых двух.

IV. Как видно из рис. 1, излучение с длиной волны  $\lambda$  488 нм заметно поглощается исследуемым кристаллом. Это, естественно, приводит к тепловому самовоздействию пучка. Поскольку в холестерическом жидкокристалле вдоль оси спирали распространяются две нормальные волны с круговой поляризацией<sup>1, 2</sup>, то каждая из них на экране дает свою систему колец. Зависимость расходимости и интенсивности колец от направления круговой поляризации связана с различием показателей преломления и коэффициентов поглощения, возникающих в ХЖК нормальных волн.

V. Система эквидистантно расположенных колец, возникающая при увеличении мощности светового пучка — результат дифракции света на "дырах"<sup>3</sup>, возникающих в ХЖК за счет его нагрева лазерным пучком.

Итак, узкий световой пучок может создавать в ХЖК двумерную решетку искажений поля директора и дифрагировать на ней.

Этот эффект интересен с точки зрения технических приложений — записи и хранения информации. Информацию можно записывать красным и стирать зеленым лучом.

Авторы глубоко благодарны М.И.Барнику и С.В.Беляеву за полезные обсуждения рассмотренных в статье вопросов.

#### Литература

1. де Жен П. Физика жидких кристаллов. М.: Мир, 1977.
2. Блинов Л.М. Электро- и магнитооптика жидких кристаллов. М.: Наука, 1978.
3. Eber N. Undulation instability in compensated cholesterics, Reprint KFKJ — 1984 — 86, Budapest, 1984.
4. Scaramuzza N., Bartolino R., Barbero G. J. Appl. Phys., 1982, 53, 8593.
5. Dubois-Violette E. J. Phys. (Fr.), 1973, 34, 107.
6. Китаева В.Ф., Золотко А.С., Соболев Н.Н. УФН, 1982, 138, 324.
7. Барник М.И., Беляев С.В., Гребенкин Н.Ф., Румянцев В.Р., Селиверстов В.А., Цветков В.А., Штыков Н.М. Кристаллография, 1978, 23, 805.
8. Kitaeva V.F., Sobolev N.N., Zolotko A.S., Csillag L., Kroo N. Mol. Cryst. Liq. Cryst., 1983, 91, 173.

Поступила в редакцию

28 марта 1986 г.

После переработки

21 апреля 1986 г.